

НАБЛЮДЕНИЕ СЛАБОЙ ЛОКАЛИЗАЦИИ ЭЛЕКТРОНОВ ПРИ 77 К В CdS МЕТОДОМ АКУСТОЭЛЕКТРОННОГО УСИЛЕНИЯ

А.М.Дьяконов, Я.В.Копелевич.

Наблюдался эффект слабой локализации электронов при 77 К методом акустоэлектронного усиления в CdS. Предполагается, что слабая локализация электронов обусловлена квазиупругим электрон-фононным рассеянием.

В работах ^{1 - 3} было показано, что эффекты слабой локализации ^{4, 5} возможны не только в неупорядоченных проводниках при низких температурах, когда электроны упруго рассеиваются на примесях и подчиняются статистике Ферми, но и в чистых материалах при более высоких температурах, таких, что электрон-фононное рассеяние становится квазиупругим. При выполнении условия $\tau_{\varphi} \gg \tau$ рассеяние на фонах играет двоякую роль: с одной

стороны, оно может создавать интерференцию, с другой — ее разрушает. Здесь $\tau_\varphi \sim \frac{\tau}{(\omega\tau)^{2/3}}$ ^{6, 7} — время сбоя фазы электрона, τ — уходное время электрон-фононной релаксации, $\hbar\omega$ — характерная энергия, переданная электрону при столкновении. Таким образом, существуют два температурных интервала, где может осуществляться слабая локализация: низкие температуры, где она обусловлена рассеянием электронов на примесях, и сравнительно высокие температуры, где она обусловлена рассеянием электронов акустическими фононами¹.

Цель настоящей работы — экспериментальное доказательство существования локализационных поправок к подвижности электронов при достаточно высоких температурах.

Для наблюдения слабой локализации концентрацию электронов желательно иметь столь малой, чтобы электронный газ был невырожденным и электрон-электронные столкновения не определяли τ_φ . В случае вырожденного электронного газа локализационные поправки и квантовые поправки, обусловленные межэлектронным взаимодействием⁸, существуют, тогда как в невырожденном электронном газе локализационные поправки можно изучать в "чистом" виде⁹. Удобным объектом для этого может служить фотопроводящий CdS. В нем легко получить достаточно малые ($10^{12} - 10^{13} \text{ см}^{-3}$) концентрации электронов. При азотных температурах электроны рассеиваются акустическими фононами. Известно, что это рассеяние является квазиупругим. Переданная электрону при столкновении энергия $\hbar\omega = (3m^*kT_w)^{1/2}$, где m^* — эффективная масса электрона ($\approx 0,2m_0$), а w — скорость звука ($\approx 10^5 \text{ см/с}$), откуда при $T=77 \text{ К}$ $\hbar\omega \approx 10^{-15} \text{ эрг}$. Приняв $\tau \approx 10^{-13} \text{ с}$ ¹⁰, получим $(\omega\tau)^{2/3} \approx 0,1$, $\tau_\varphi = \frac{2\tau}{(\omega\tau)^{2/3}} \approx 10^{-12} \text{ с}$, т. е. $\tau_\varphi \gg \tau$. Условие удаленности

от перехода к сильной локализации $(pl/\hbar)^2 \gg 1$ также выполняется ($(pl/\hbar)^2 \approx 30$), где p — импульс электрона, l — длина его свободного пробега. Умеренные значения подвижности ($\mu \sim 10^3 \text{ см}^2/\text{В}\cdot\text{с}$) делают незаметными эффекты классического магнетосопротивления, что дает возможность выделить локализационные поправки по характерному изменению подвижности в магнитном поле (отрицательному магнетосопротивлению)^{11, 12}. Для фотопроводящего CdS с вышеупомянутыми параметрами магнитное поле H_c , в котором происходит эффективное разрушение интерференции, составляет $\sim 1 \text{ кЭ}$.

Поскольку CdS — пьезополупроводник, в нем можно осуществить усиление звука во внешнем электрическом поле. В условиях настоящего эксперимента коэффициент акустоэлектронного усиления Γ выражается следующим образом:

$$\Gamma \sim \frac{\Omega}{w} \frac{\mu E - w}{\mu},$$

где E — дрейфовое электрическое поле, Ω , w — частота и скорость звука, соответственно. Происходящее вследствие разрушения интерференции в магнитном поле изменение подвижности $\Delta\mu(H) = \mu(H) - \mu(0)$ приводит к изменению величины коэффициента акустоэлектронного усиления $\Delta\Gamma = (\partial\Gamma/\partial\mu)\Delta\mu \sim (w/\mu^2)\Delta\mu$, причем $\Delta\Gamma > 0$, поскольку $\Delta\mu > 0$ ²). В эксперименте измерялось изменение величины звукового сигнала при включении магнитного поля: $\Delta J(H) = J(H) - J(0)$.

-
- 1) Следует отметить, что "кратковременная" локализация электронов, возникающая вследствие их квазиупругого рассеяния на фононах исследовалась ранее^{7a} экспериментально и теоретически в отсутствие магнитного поля в другом классе веществ — органических металлах с квазиодномерным спектром.
 - 2) Как показали Афонин и др.⁹ при частотах, по крайней мере на два порядка больших, чем те, что использовались в настоящем эксперименте, локализованные поправки к коэффициенту поглощения звука имеют более сложный характер и непосредственно через подвижность не выражаются.

Методика получения и измерения акустоэлектронного усиления – стандартная^{1,3}. Блок-схема измерительной установки приведена на рис. 1. Длительность импульсов дрейфового поля ($\approx 3 \text{ мкс}$) соответствовала однопролетному режиму усиления. Концентрация электронов ($\approx 5 \cdot 10^{12} \text{ см}^{-3}$) достигалась подсветкой от стабилизированной лампы накаливания через светофильтры СЗС-20, 23. Образец ($5,2 \times 5 \times 6 \text{ мм}^3$) в держателе погружался в жидкий азот, находящийся в стеклянном сосуде Дьюара, который, в свою очередь, помещался

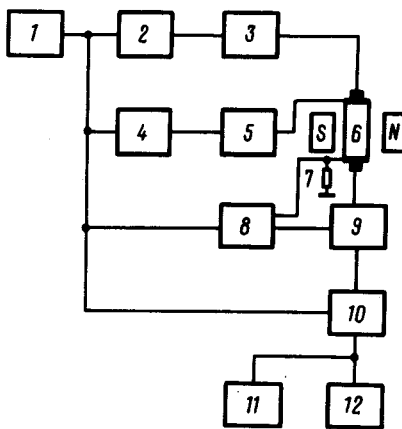


Рис. 1. Блок-схема измерительной установки: 1 – синхронизатор, 2 – генератор регулируемой задержки импульсов звука, 3 – генератор радиоимпульсов, 4 – генератор регулируемой задержки импульсов дрейфового поля, 5 – генератор импульсов дрейфового поля, 6 – образец, 7 – измерительное сопротивление, 8 – осциллограф, 9 – приемник радиоимпульсов, 10 – стробоскопический блок, 11 – графопостроитель, 12 – цифровой вольтметр

между полюсами магнита. Первый прямо прошедший звуковой импульс, усиленный в дрейфовом поле, выделялся и измерялся по амплитуде с помощью стробоскопического блока (рис. 1). Далее сигнал подавался на графопостроитель и регистрировалось его изменение во времени, причем магнитное поле попаременно то включалось на 7 – 8 минут, то выключалось. На рис. 2 приведен пример такой записи сигнала.

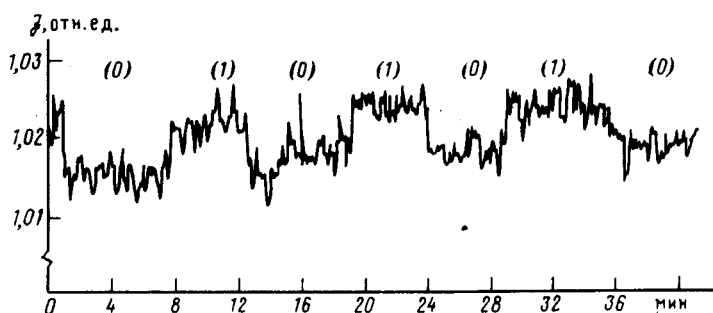


Рис. 2. Изменение сигнала со временем при включеннем магнитном поле $H = 1 \text{ кЭ}$ (1) и без магнитного поля (0)

При $H < 400 \text{ Э}$ разность $\Delta J(H)$ не была заметна на уровне шума. При увеличении магнитного поля величина $\Delta J(H)$ возрастала, насыщаясь при $H \gtrsim 1 \text{ кЭ}$. Аналогичное поведение величины $\Delta \mu(H)$ предсказывается теорией слабой локализации^{1,1, 1,2}. На опыте величина $\Delta J(H)$ существенно зависела от магнитного поля, начиная с $H \gtrsim 700 \text{ Э}$, что по порядку величины соответствует вышеприведенной оценке для H_c . Считая, что это экспериментальное значение магнитного поля действительно имеет смысл H_c , из соотношения $H_c = \frac{c\hbar}{4eD\tau_\varphi}$ (где D – коэффициент диффузии электронов) находим $\tau \approx 3 \cdot 10^{-13} \text{ с}$. Такая величина количественно характерна для уходного времени электрон-фононной релаксации. При увеличении

вводимой мощности звука от 10^{-5} до 10^{-2} Вт величина $\Delta J(H)$ уменьшалась от своего максимального значения до нуля. Это может быть связано с разрушением интерференции высокочастотным пьезоэлектрическим полем звуковой волны, действие которого аналогично действию внешнего высокочастотного электрического поля⁶. При $T = 300$ К $\Delta J(H) = 0$, что должно быть связано с неупругим рассеянием электронов оптическими фононами.

Таким образом, результаты настоящей работы позволяют предположить, что наблюдаемый эффект обусловлен слабой локализацией электронов, вызванной квазиупругим электрон-фононным рассеянием.

Авторы благодарны В.В.Леманову за поддержку в работе, В.В.Афонину, Ю.М.Гальперину, В.Л.Гуревичу за многочисленные обсуждения вопросов физической интерпретации результатов.

Литература

1. Афонин В.В., Гальперин Ю.М., Гуревич В.Л. ЖЭТФ, 1985, **88**, 1906.
2. Афонин В.В., Гальперин Ю.М., Гуревич В.Л. ЖЭТФ, 1985, **88**, 2190.
3. Afonin V.V., Galperin Yu.M., Gurevich V.P. Phys. Rev. B, 1986, **33**, 8841.
4. Горьков Л.П., Ларкин А.И., Хмельницкий Д.Е. Письма в ЖЭТФ, 1979, **30**, 248.
5. Abrahams E., Ramakrishnan T.V. J. Non-Cryst. Sol. 1980, **35/36**, 15.
6. Altshuler B.L., Aronov A.G., Khmelnitsky D.E. Sol. St. Commun., 1981, **39**, 619.
7. Altshuler B.L., Aronov A.G., Khmelnitsky D.E. J. Phys. C.: Solid St. Phys., 1982, **15**, 7367.
- 7а. Гоголин А.А. и др. Письма в ЖЭТФ, 1975, **22**, 564.
8. Альтшуллер Б.Л., Аронов А.Г. Письма в ЖЭТФ, 1978, **27**, 700.
9. Афонин В.В., Гальперин Ю.М., Игнатьев Р.Н. ФТТ, 1986, **28**, 1063.
10. Boone J.L., Cantwell G. J. Appl. Phys., 1985, **57**, 1171.
11. Altshuler B.L., Khmelnitsky D.E., Larkin A.I., Lee P.A., Phys. Rev. B, 1980, **B 22**, 5142.
12. Hikami S., Larkin A.I., Nagaoka Y. Progr. Theor. Phys., 1980, **63**, 707.
13. Hutson A.R., McFee J.H., White D.L. Phys. Rev. Lett., 1961, **7**, 237.

Поступила в редакцию
5 ноября 1987 г.

После переработки
18 января 1988 г.